

# تأثیر درصد $\text{Al}_2\text{O}_3$ بر خواص مکانیکی فوم کامپوزیتی $\text{Al}-(0-40\%) \text{Al}_2\text{O}_3$ تولید شده به روش آلیاژسازی مکانیکی کم انرژی

مصطفی علیزاده و مرتضی میرزایی\*

گروه پژوهشی فلزات، پژوهشکده مهندسی مواد، دانشگاه تحصیلات تکمیلی صنعتی و فناوری پیشرفته کرمان

(دریافت مقاله: ۹/۱۰/۱۳۹۱ - دریافت نسخه نهایی: ۸/۱۰/۱۳۹۳)

**چکیده** – در این پژوهش، ابتدا پودرهای کامپوزیتی  $\text{Al}-\text{Al}_2\text{O}_3$  با مقادیر مختلف  $\text{Al}_2\text{O}_3$  در حجم ۰٪، ۱۰٪، ۲۰٪، ۳۰٪ و ۴۰٪ درصد  $\text{Al}_2\text{O}_3$  مکانیکی در یک آس اب کم انرژی تهیه و عنوان ماده فوم، مورد استفاده قرار گرفتند. سپس با استفاده از روش فضاساز و بهره‌گیری از ذرات کربامید کروی با قطر ۰/۰۵ میلی‌متر (عنوان عامل فضاساز) فومی کامپوزیت با مقادیر ۵۰٪، ۶۰٪ و ۷۰٪ درصد تخلخل تهیه شد. رای برسی خواص فشاری فوم‌های تولیدی، از آزمون فشار تک محوری با نرخ کرنش  $10^{-3} \text{ S}^{-1}$  استفاده شد. شان داد خواص فشاری فوم کسر  $\text{Al}_2\text{O}_3$  و درصد تخلخل است. ای که با کاهش درصد تخلخل، خواص فشاری بهبود می‌یابد. همچنین فوم‌های ساخته شده با درصد  $\text{Al}_2\text{O}_3$  در این پژوهش رین خواص فشاری را دارا بودند.

**واژگان کلیدی:** آلیاژسازی مکانیکی، آسیاب کاری کم انرژی، فضا ساز، کربامید

## Effect of $\text{Al}_2\text{O}_3$ Particles on Mechanical Properties of $\text{Al}-(0-40\%) \text{Al}_2\text{O}_3$ Composite Foams Produced by Low Energy Mechanical Alloying

M. Alizadeh and M. Mirzaei\*

1. Metals Research Group, Department of Materials Engineering, Kerman Graduate University of Technology

**Abstract:** In this study, at first  $\text{Al}-\text{Al}_2\text{O}_3$  composite powders having different volume fractions of  $\text{Al}_2\text{O}_3$  (0, 10, 20, 30 and 40 vol.%) were produced by low energy mechanical alloying, which were used as foam materials. Then, composite foams with 50, 60, and 70 percent of porosity were produced by space-holder technique. Spherical carbamide particles (1-1.4 mm) were used to achieve spherical porosities. In order to investigate the compressive behavior of foams, the compression test with strain rate of  $10^{-3} \text{ S}^{-1}$  was performed on the foam samples. The results showed that the compressive properties depended on the volume fraction

\* مسئول مکاتبات پست الکترونیکی: m\_mirzaee1355@yahoo.com

*of Al<sub>2</sub>O<sub>3</sub> and porosity fraction. Generally, by decreasing the porosity fraction, the compressive properties were improved. The composite foams containing 10 vol.% Al<sub>2</sub>O<sub>3</sub> showed superior compressive properties in comparison to other foams studied in this work.*

**Keywords:** Mechanical alloying, Low energy milling, Space holder, Carbamide

در روش فضا ساز با استفاده از یک ماده فضا ساز (معمولًاً

نمک طعام NaCl) با اندازه و شکل مشخص، می‌توان فوم با سلول‌های هم‌شکل و هم اندازه و با توزیع یکنواخت تولید کرد [۱۲-۱۴]. نمک طعام به دلیل سختی بالا، شکل نامنظم و گوشیدار و از همه مهم‌تر بروز مشکلات خوردنی ناشی از نمک باقی مانده پس از فرایند حل شدن، پژوهشگران را بر آن داشته است که از مواد دیگری همچون کربامید استفاده کنند. کربامید کروی با قیمت ارزان قابل تهیه در بازار بوده، از طرفی حل شدن آن در آب به مراتب سریع‌تر از نمک است [۱۵-۱۹].

در این پژوهش از کربامید کروی به عنوان ماده فضاساز استفاده شد. از آنجایی که این ماده در دمای بالای ۱۳۵ تا ۱۴۰ درجه سانتی‌گراد تجزیه می‌شود، به جای فرایند لیچینگ یک سیکل گرمایی برای حذف آن استفاده شد. در این پژوهش ابتدا پودر کامپوزیت Al-Al<sub>2</sub>O<sub>3</sub> با استفاده از آلیاژسازی مکانیکی با روش آسیاب کم انرژی تهیه و سپس فوم کامپوزیتی سلول باز Al-Al<sub>2</sub>O<sub>3</sub> با روش فضا ساز ساخته شد و تاثیر متغیرهایی همچون درصد فاز تقویت کننده Al<sub>2</sub>O<sub>3</sub> (۵٪، ۲۰٪، ۳۰٪ و ۴۰٪ درصد حجمی) و کسر حجمی تخلخل (۵۰٪، ۶۰٪ و ۷۰٪) بر خواص فشاری مورد بررسی قرار گرفت.

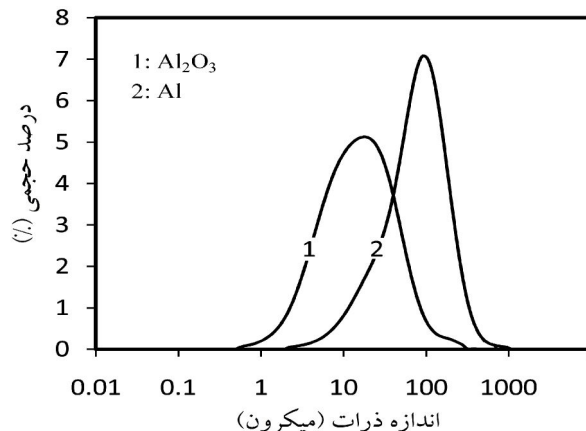
## ۲- مواد و روش انجام کار

در این پژوهش برای ساخت پودر کامپوزیت از پودرهای آلومینیم و Al<sub>2</sub>O<sub>3</sub> خالص و با توزیع اندازه ذرات نشان داده شده در شکل ۱ استفاده شد. منحنی توزیع اندازه ذرات آلومینیم و Al<sub>2</sub>O<sub>3</sub> به صورت توزیع نرمال بوده، ولی ذرات Al<sub>2</sub>O<sub>3</sub> به مراتب ریزتر از ذرات آلومینیم هستند به گونه‌ای که میانگین اندازه ذرات پودرهای آلومینیم و Al<sub>2</sub>O<sub>3</sub> به ترتیب

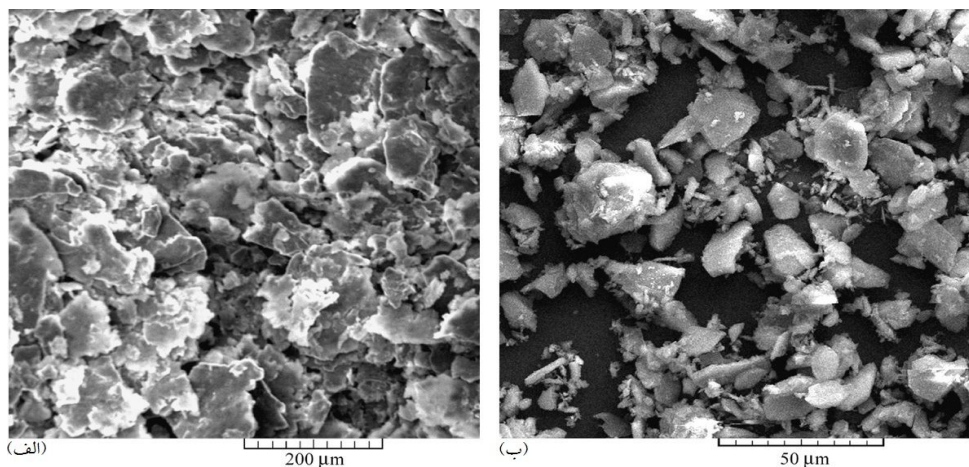
## ۱- مقدمه

در سال‌های اخیر فوم‌های آلومینیمی به دلیل خواص مکانیکی و فیزیکی ویژه‌ای همچون قابلیت بالای جذب انرژی، چگالی پائین، هدایت الکتریکی و گرمایی بالا به طور گستردۀ مورد مطالعه پژوهشگران قرار گرفته‌اند [۱ و ۲]. از آنجایی که در یک فوم فلزی افزایش استحکام فشاری و قابلیت جذب انرژی اهمیت بسزایی دارد، بررسی‌ها بیشتر در این جهت شکل گرفته است [۳ و ۴]. یکی از راه‌های افزایش استحکام فوم‌ها، تقویت دیواره‌های فوم با کمک ذرات سرامیکی است [۵-۷]. در بین مواد تقویت کننده سرامیکی Al<sub>2</sub>O<sub>3</sub> یک تقویت کننده مناسب برای آلومینیوم است زیرا هیچ‌گونه واکنش شیمیایی با آن ندارد، با افزوده شدن به آلومینیم دمای کاری را افزایش می‌دهد و باعث بهبود مقاومت به خزش کامپوزیت می‌شود [۸].

برای ساخت پودر کامپوزیت Al-Al<sub>2</sub>O<sub>3</sub> روش آسیاب کردن مکانیکی بسیار مورد مطالعه قرار گرفته است زیرا در این روش، توزیع یکنواختی از ذرات آلومینیم در آلومینیم به دست می‌آید. در حین آلیاژسازی مکانیکی ذرات آلومینیم در اثر ضربه ناشی از گلوله‌ها به شدت تغییر شکل یافته، به صورت پهن و ورقه‌ای در می‌آیند. اما ذرات Al<sub>2</sub>O<sub>3</sub> خرد شده در زمینه آلومینیم فرو رفت، توسط آن احاطه می‌شوند. با افزایش زمان آسیاب کردن ذرات آلومینیم دچار کار سختی شده، ذرات Al<sub>2</sub>O<sub>3</sub> در مرز بین لایه‌های جوش خورده آلومینیم محبوس می‌شوند. در ادامه، این ساختار لایه‌ای شکسته و ریزتر می‌شود و ذرات Al<sub>2</sub>O<sub>3</sub> نیز با توزیع یکنواخت تری در درون این ساختار قرار می‌گیرند [۸-۱۱]. به دلیل اینکه روش سلول فضا ساز برای ساخت فوم بر پایه متالورژی پودر است، تهیه کامپوزیت به شکل پودر برای استفاده از این روش اهمیت دارد.



شکل ۱- منحنی توزیع اندازه ذرات پودرهای آلمینیم و  $\text{Al}_2\text{O}_3$



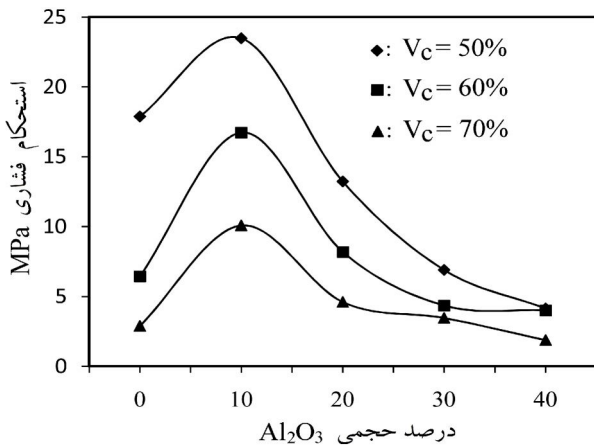
شکل ۲- تصاویر میکروسکوپ الکترونی روبشی (SEM) از پودرهای اولیه: (الف)  $\text{Al}_2\text{O}_3$  و (ب) آلمینیم

ذرات کروی کربامید در یک مخلوط کن افقی بهمدت ۱۵ دقیقه و در حضور ۰/۵ میلی متر مکعب اتانول مخلوط شدند. اتانول در این مرحله برای مرطوب و در نتیجه چسبناک شدن سطح ذرات کربامید استفاده شد. نسبت ذرات کروی کربامید (فضا ساز) به پودر کامپوزیت ۵۰، ۶۰ و ۷۰ درصد حجمی در نظر گرفته شد. در نهایت این مخلوط با استفاده از یک دستگاه پرس تک محوره و با فشار ۴۰۰ مگاپاسکال به نمونه های استوانه ای با قطر و طول ۱۳ میلی متر تبدیل شدند. عملیات خروج کربامید از نمونه ها و سپس زیتر شدن به صورت سیکل نشان داده شده در شکل ۴ و با استفاده از یک کوره الکتریکی و در اتمسفر کنترل شده صورت گرفت. برای بررسی رفتار فشاری نمونه ها و میزان جذب انرژی،

۷۸ و ۱۴ میکرون است. تصویر میکروسکوپ الکترونی روبشی پودرهای اولیه در شکل ۲ نمایش داده شده است. از کربامید کروی شکل تجاری با ابعاد ۱ تا ۱/۴ میلی متر به عنوان ماده فضا ساز استفاده شد (شکل ۳).

برای ساخت کامپوزیت  $\text{Al}_2\text{O}_3$ - $\text{Al}$  پودر آلمینیم با ۱۰، ۱۵، ۲۰، ۳۰ و ۴۰ درصد حجمی از  $\text{Al}_2\text{O}_3$  مخلوط و با استفاده از یک آسیاب افقی کم انرژی با سرعت ۸۰ دور در دقیقه بهمدت ۲۴ ساعت و در اتمسفر آرگون و با نسبت گلوله به پودر ۱۰ به ۱ آسیاب شدند. برای جلوگیری از کلوخه شدن پودرها و چسبیدن آنها به گلوله ها و جداره آسیاب حدود ۳ درصد وزنی پودر اتانول به مخلوط پودرها اضافه شد.

برای ساخت نمونه های فومی، پودر کامپوزیت به همراه



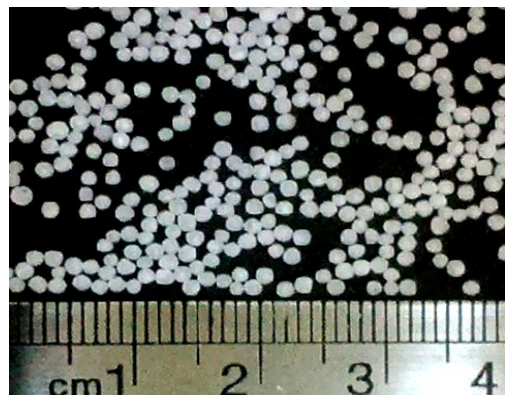
شکل ۶- استحکام فشاری نمونه‌ها بر حسب درصد حجمی  $\text{Al}_2\text{O}_3$  در کسرهای حجمی مختلف تخلخل

آزمون فشار با نرخ کرنش  $10^{-3} \text{ S}^{-1}$  با استفاده از یک دستگاه (اینسترون ۵۵۸۶) و بر طبق استاندارد (ASTM E9-89a) انجام شد. درصد تخلخل نمونه‌ها با استفاده از روش ارشمیدس به دست آمد.

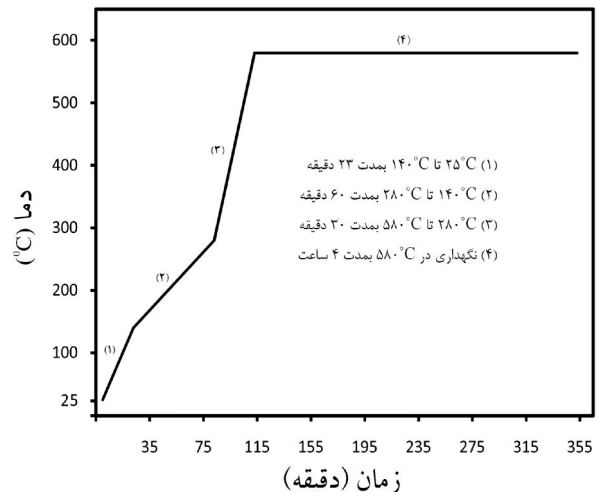
## نتایج و بحث

در شکل ۵ اثر درصد حجمی  $\text{Al}_2\text{O}_3$  بر منحنی تنش-کرنش فشاری در میزان تخلخل ثابت ۵۰٪ نشان داده شده است. این منحنی‌ها همانند منحنی عمومی فوم‌های فلزی از سه ناحیه تشکیل شده است. این ناحیه‌ها شامل ناحیه تغییر شکل الاستیک (که تغییرات تنش با کرنش به صورت خطی است)، ناحیه مسطح (که تنش به صورت دندانه‌ای با کرنش در یک محدوده وسیع از نمودار تنش-کرنش تغییر می‌کند) و ناحیه تراکم (که تمامی حفره‌ها به صورت متراکم در می‌آید و تنش به صورت ناگهانی افزایش می‌یابد) می‌شوند.

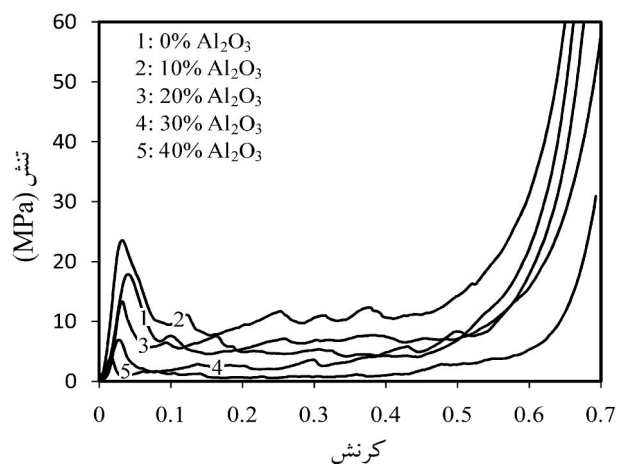
با افزایش کسر حجمی  $\text{Al}_2\text{O}_3$  ۱۰ درصد، استحکام فشاری و تنش ناحیه مسطح افزایش می‌یابد (شکل‌های ۶ و ۷). ولی در ادامه با افزایش کسر حجمی  $\text{Al}_2\text{O}_3$  ۴۰ تا ۵۰ درصد روند نزولی استحکام تسلیم و تنش ناحیه مسطح مشاهده می‌شود. افت خواص مکانیکی فوم‌ها با افزایش ذرات کننده سرامیکی به بیش از ۱۰٪ می‌تواند ناشی از رفتار ترد این



شکل ۳- تصویر ذرات کروی کربامید



شکل ۴- سیکل عملیات خروج کربامید و زینتر شدن نمونه‌ها

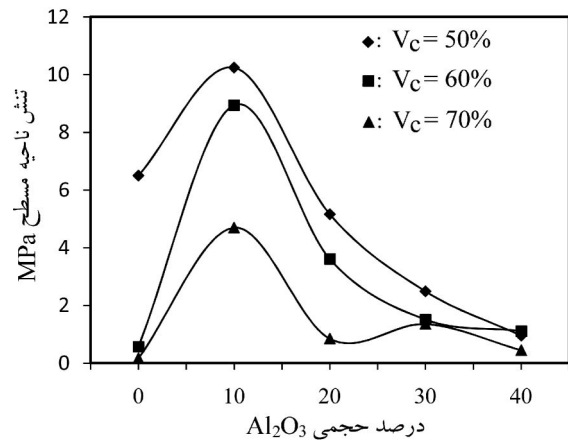


شکل ۵- منحنی تنش-کرنش فشاری نمونه‌های فومی بر حسب درصد حجمی  $\text{Al}_2\text{O}_3$  در تخلخل ۵۰٪

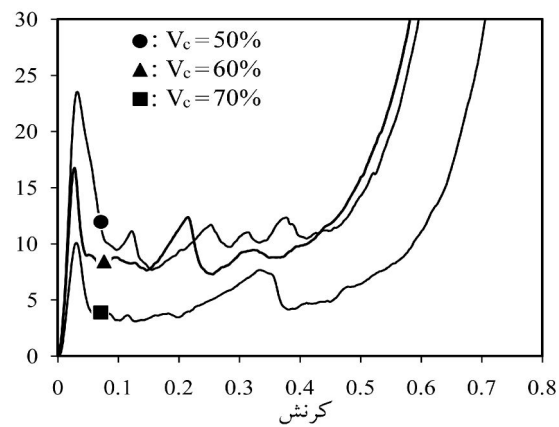
فوم‌های کامپوزیتی با درصد زیاد فاز تقویت کننده باشد. این مسئله در بررسی اثر ذرات SiC بر رفتار مکانیکی فوم‌ها نیز دیده شده است [۵]. به این صورت که با افزودن ۱۰ درصد وزنی از ذرات SiC به فوم کامپوزیتی، افزایش استحکام فشاری و تنش ناحیه مسطح مشاهده می‌شود ولی برای فوم با ۲۰ درصد وزنی از ذرات SiC افت استحکام فشاری و تنش ناحیه مسطح حتی نسبت به فوم بدون ذرات SiC دیده می‌شود. در واقع می‌توان عنوان نمود که خواص مکانیکی فوم‌ها با افزایش ذرات تقویت کننده  $\text{Al}_2\text{O}_3$  به بیش از ۱۰ درصد حجمی، به دلیل افزایش پدیده تمرکز تنش در مرز بین فاز زمینه آلومنیم با ذرات  $\text{Al}_2\text{O}_3$  افت محسوسی پیدا می‌کند.

در شکل‌های ۸ و ۹ تغییرات منحنی تنش-کرنش فشاری با درصد تخلخل به ترتیب در درصدهای حجمی ۱۰ و ۴۰ از  $\text{Al}_2\text{O}_3$  دیده می‌شود. بهوضوح مشخص است که محدوده ناحیه مسطح در تخلخل‌های بالاتر به مراتب گسترش یافته است هر چند که تنش ناحیه مسطح کاهش یافته و حتی در نمونه شامل ۴۰ درصد حجمی  $\text{Al}_2\text{O}_3$  به صفر نزدیک شده است. این مساله به دلیل زمان طولانی تر فشرده و بسته شدن حفره‌ها در نمونه‌های با تخلخل بیشتر است. این نتایج با مطالعات سایر پژوهشگران درباره اثر تخلخل بر خواص مکانیکی در فوم‌های فلزی مطابقت دارد به گونه‌ای که هر چه میزان تخلخل فوم‌ها افزایش یابد، محدوده ناحیه مسطح افزایش یافته و مقدار تنش در این ناحیه با افزایش کرنش، با یک شیب ملائم‌تری افزایش می‌یابد [۱۷].

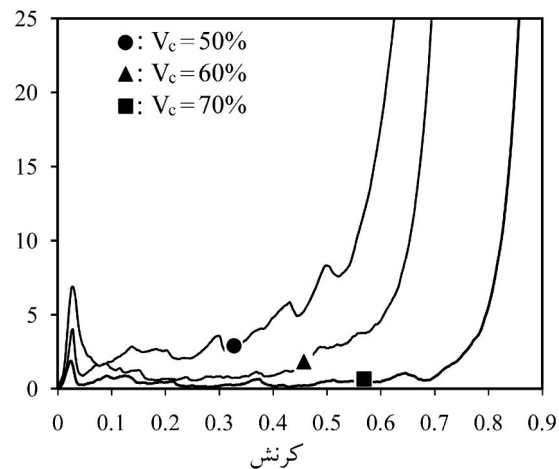
با توجه به شکل‌های ۸ و ۹ می‌توان دریافت شیب تغییرات تنش با کرنش در انتهای ناحیه دوم با کاهش درصد تخلخل افزایش می‌یابد. به عبارتی در مرز نواحی دوم و سوم در نمونه‌های با تخلخل کم تر تنش با نرخ شدیدتری افزایش می‌یابد. در شکل ۱۰ تغییرات شیب ناحیه مسطح نمونه‌ها با کسر حجمی تخلخل در درصدهای مختلف حجمی  $\text{Al}_2\text{O}_3$  نشان داده شده است. در نمونه شامل ۱۰ درصد حجمی از  $\text{Al}_2\text{O}_3$  تنش با شیب به مراتب بیشتری با افزایش کرنش، زیاد می‌شود. این



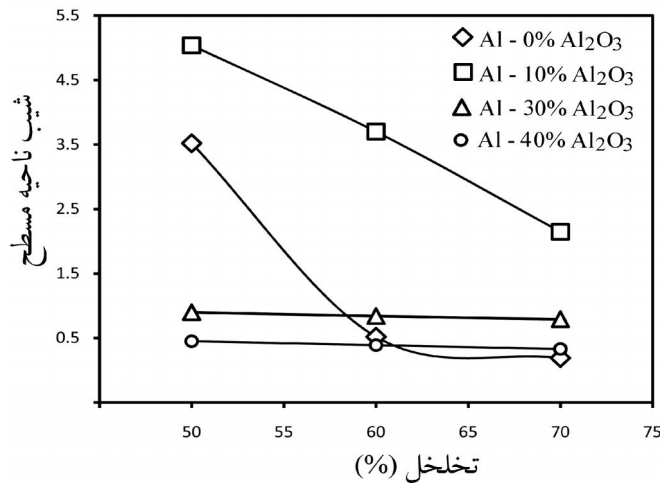
شکل ۷- تغییرات تنش ناحیه مسطح نمونه‌ها با درصد حجمی  $\text{Al}_2\text{O}_3$  در کسرهای حجمی مختلف تخلخل



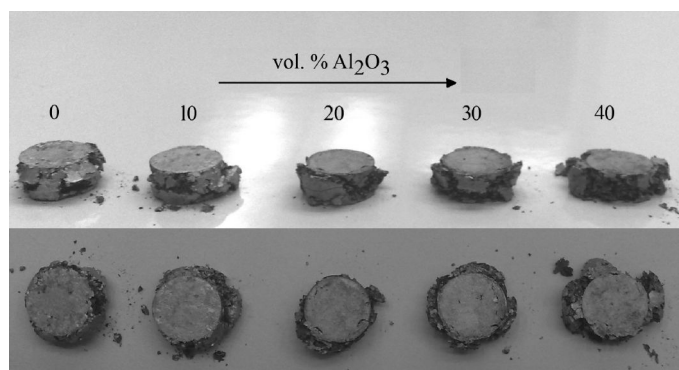
شکل ۸- تغییرات منحنی-تنش کرنش فشاری نمونه‌های فومی با درصد تخلخل در نمونه‌های با ۱۰٪ حجمی  $\text{Al}_2\text{O}_3$



شکل ۹- منحنی تنش-کرنش فشاری نمونه‌های فومی بر حسب درصد تخلخل در نمونه‌های با ۴۰٪ حجمی  $\text{Al}_2\text{O}_3$



شکل ۱۰- تغییرات شیب ناحیه مسطح نمونه‌ها با کسر حجمی تخلخل در درصدهای مختلف حجمی  $\text{Al}_2\text{O}_3$



شکل ۱۱- تصویر نمونه‌ها پس از آزمون فشار در ۵.۰٪ تخلخل

حجمی بیشتر  $\text{Al}_2\text{O}_3$  مکانیزم دوم غالب بوده، پس از هر مرحله تخریب سلول‌ها افت شدید تنش مشاهده می‌شود. مشاهدات حین آزمون فشار در نمونه‌های مختلف حجمی نیز این مکانیزم را تایید می‌کند به گونه‌ای که در نمونه‌های با درصد حجمی بیشتر  $\text{Al}_2\text{O}_3$  (۳۰ و ۴۰ درصد) در حین آزمون فشار، قسمت‌هایی از نمونه‌ها از آن جدا شده و فقط درصد کمی در نهایت به صورت متراکم شده در می‌آید (در واقع نمونه ملاشی می‌شود). این در حالی است که در نمونه‌های با درصد حجمی کمتر  $\text{Al}_2\text{O}_3$  نمونه کاملاً به صورت متراکم شده در می‌آید (شکل ۱۱).

در مقایسه رفتار فشاری نمونه کامپوزیتی شامل ۱۰ درصد حجمی  $\text{Al}_2\text{O}_3$  با نمونه آلومینیمی ( $\text{Al}_2\text{O}_3$ ) مشخص می‌شود ذرات فاز تقویت کننده باعث افزایش استحکام دیواره

افزایش در درصدهای مختلف تخلخل نیز وجود دارد. در نمونه فومی آلومینیم بدون ذرات تقویت کننده با افزایش درصد تخلخل کاهش بسیار شدیدی در شیب ناحیه مسطح دیده می‌شود در حالیکه در نمونه‌های شامل ۳۰ و ۴۰ درصد حجمی  $\text{Al}_2\text{O}_3$  این شیب تغییرات چندانی با میزان تخلخل نمونه‌ها ندارد. تغییر در رفتار فشاری نمونه‌های فوم کامپوزیتی توسط سایر پژوهشگران هم مورد مطالعه قرار گرفته است [۶ و ۷]. اصولاً تغییر شکل فوم‌ها در ناحیه مسطح با دو مکانیزم خمیدگی دیواره‌های سلول‌ها و از هم پاشیده شدن یا شکست ناگهانی دیواره‌های سلول‌ها اتفاق می‌افتد. در نمونه‌های با درصد حجمی کمتر  $\text{Al}_2\text{O}_3$  مکانیزم اول غالب است و در نتیجه در ناحیه مسطح با افزایش کرنش، تنش هم با شیب ملایمی افزایش پیدا می‌کند [۲۰]. اما در مقابل در نمونه‌های با درصد

ذرات کروی کربامید مطلوب نمی‌باشند. بنابراین می‌توان نتیجه گرفت فوم کامپوزیتی آلمینیم با  $10\%$  درصد حجمی  $\text{Al}_2\text{O}_3$  با استفاده از روش ساخت مورد استفاده در این پژوهش بهترین خواص فشاری را از خود نشان می‌دهد.

### نتیجه‌گیری

در این پژوهش فوم کامپوزیتی  $\text{Al}-\text{Al}_2\text{O}_3$  با روش فضاساز تولید شد. بررسی‌ها نشان داد افزایش درصد حجمی فاز تقویت‌کننده ( $\text{Al}_2\text{O}_3$ ) تا  $10\%$  موجب افزایش استحکام فشاری و تنفس ناحیه مسطح می‌شود. این افزایش می‌تواند به دلیل بهبود استحکام دیواره سلول فوم‌ها باشد که به صورت ساختار کامپوزیتی در آمده است. هم چنین افت خواص استحکام فشاری و تنفس ناحیه مسطح در نمونه‌های با بیشتر از  $10\%$  حجمی  $\text{Al}_2\text{O}_3$  به دلیل تغییر مکانیزم تغییر شکل و فشرده شدن حفره‌ها و متغیرهای تولید است.

فوم شده و در نتیجه خواص فشاری و جذب بهبود پیدا کرده است. اما روند افت خواص فشاری با افزایش درصد حجمی  $\text{Al}_2\text{O}_3$  از  $10\%$  به  $20\%$ ,  $30\%$  و  $40\%$  می‌تواند به دلیل‌های زیر باشد:

- ۱- ترد شدن دیواره‌ها و تغییر مکانیزم بسته شده حفره‌ها
- ۲- از آنجایی که با افزایش ذرات سرامیکی در یک کامپوزیت زمینه فلزی نیاز به فشردن نمونه‌های پودری با روش‌های پیشرفته‌تری همانند پرس گرم و پرس هیدرو استاتیک است، روش پرس تک محوره در دمای محیط نمی‌تواند نتیجه مناسبی را ایجاد کند [۲۱ و ۲۲].
- ۳- با افزایش ذرات بسیار ریز فاز تقویت‌کننده تمایل به کلوخه شدن آنها بیشتر و یکنواختی توزیع ذرات تقویت‌کننده در فاز زمینه کم می‌شود. این مساله منجر به افت خواص مکانیکی می‌شود [۲۳].

با توجه به استفاده از کربامید به عنوان ماده فضا ساز در این پژوهش، استفاده از روش‌های شکل‌دهی گرم به دلیل تبخیر کربامید و روش‌های شکل‌دهی با فشار بالاتر به دلیل تغییر شکل

### مراجع

1. Wang, Z., Ning, L.J., and Zhao, L., "Effect of Heat Treatments on the Crushing Behavior and Absorbing Performance of Aluminum Alloys Foams", *Materials and Design*, Vol. 30, pp. 977-982, 2009.
2. Campana, F., and Pilone, D., "Effect of Heat Treatments on the Mechanical Behaviour of Aluminum Alloy Foams", *Scripta Materialia*, Vol. 60, pp. 679-682, 2009.
3. Kolluri, M., Karthayen, S., and Ramamurty, U., "Effect of Lateral Constraint on the Mechanical Properties of a Closed-Cell Al Foam: 1. Experiments", *Metallurgical and Materials Transactions*, Vol. A 38, pp. 2006-2013, 2007.
4. Greene, S.A., Hall, I.W., and Guden, M., "Improving the Energy Absorption of Closed Cell Aluminum Foams", *Journal of Materials Science Letters*, Vol. 21, pp. 1591-1593, 2002.
5. Guden, M., and Yuksel, S., "SiC-Particulate Aluminum Composite Foams Produced from Powder Compacts: Foaming and Compression Behavior", *Journal of Materials Science*, Vol. 41, pp. 4075-4084, 2006.
6. Yu, S., Luo, Y., and Liu, J., "Effects of Strain Rate and SiC Particle on the Compressive Property of SiCp/AlSi9Mg Composite Foams", *Materials Science and Engineering*, Vol. A 487, pp. 394-399, 2008.
7. Zhao, N.Q., Jiang, B., Du, X.W., Li, J.J., and Shi, C.S., "Effect of  $\text{Y}_2\text{O}_3$  on the Mechanical Properties of Open Cell Aluminum Foams", *Materials Letters*, Vol. 60, pp. 1665-1668, 2006.
8. Prabhu, B., Suryanarayana, C., Ana, L., and Vaidyanathan., "Synthesis and Characterization of High Volume Fraction  $\text{Al}-\text{Al}_2\text{O}_3$  Nanocomposite Powders by High-Energy Milling", *Materials Science and Engineering*, Vol. A 425, pp. 192-200, 2006.
9. Razavi Hesabi, Z., Simchi, A., and Seyed Reihani, S.M., "Structural Evolution During Mechanical Milling of Nanometric and Micrometric  $\text{Al}_2\text{O}_3$  Reinforced Al Matrix Composites," *Materials Science and Engineering*, Vol. A 428, pp. 159-168, 2006.
10. Alizadeh, M., and Mirzaei Aliabadi, M., "Synthesis Behavior of Nanocrystalline  $\text{Al}-\text{Al}_2\text{O}_3$  Composite During Low Time Mechanical Milling Process",

- Journal of Alloys and Compounds*, Vol. 509, pp. 4978-4986, 2011.
11. Benajmin, J.S., and Volin, T.E., "The Mechanism of Mechanical Alloying", *Metallurgical Transactions*, Vol. 5, pp. 1929-1934, 1974.
  12. Ozan, S., and Bilhan, S., "Effect of Fabrication Parameters on the Pore Concentration of the Aluminum Metal Foam Manufactured by Powder Metallurgy Process," *International Journal of Advanced Manufactured Technology*, Vol. 39, pp. 257-260, 2008.
  13. Wang, Q.Z., Cui, C.X., Liu, S.J., and Zhao, L.C., "Open-Celled Porous Cu Prepared by Replication of NaCl Space-Holders", *Materials Science and Engineering*, Vol. A 527, pp. 1275-1278, 2010.
  14. Surace, R., De Filippis, L.A.C., Ludocico, A.D., and Boghetich, G., "Influence of Processing Parameters on Aluminum Foam Produced by Space Holder Technique", *Materials and Design*, pp. 1878-1885, 2009.
  15. Wenjuan, N., Chenguang, B., Guibao, Q., and Qiang, W., "Processing and Properties of Porous Titanium Using Space Holder Technique", *Materials Science and Engineering*, Vol. A 506, pp. 148-151, 2009.
  16. Jiang, B., Zhao, N.Q., Shi, C.S., and Li, J.J., "Processing of Open Cell Aluminum Foams with Tailored Porous Morphology," *Scripta Materialia*, Vol. 53, pp. 781-785, 2005.
  17. Bin, J., Zejum W., and Naiqin, Z., "Effect of Pore Size and Relative Density on the Mechanical Properties of Open Cell Aluminum Foams," *Scripta Materialia*, Vol. 56, pp. 169-172, 2007.
  18. Jiang, B., Zhao, N. Q., Shi, C.S., Li, J.J., and Man, H.C., "A Novel Method for Making Open Cell Aluminum Foams by Powder Sintering Process", *Materials Letters*, Vol. 59, pp. 3333-3336, 2005.
  19. Li, D.S., Zhang, Y.P., Eggeler, G., And Zhang, X.P., "High Porosity and High-Strength Porous NiTi Shape Memory Alloys with Controllable Pore Characteristics", *Journal of Alloys and Compounds*, Vol. 470, pp. L1-L5, 2009.
  20. Alizadeh, M., and Mirzaei Aliabadi, M., "Compressive Properties and Energy Absorption Behavior of Al-Al<sub>2</sub>O<sub>3</sub> Composite Foam Synthesized by Space-Holder Technique", *Materials and Design*, Vol. 35, pp. 419-424, 2012.
  21. Eskandari, H., Ghasemi, H.M., and Emamy, M., "Microstructure and Interface Studies of Al/SiCp Composites Produced by Dynamic Compaction", *Materials Science Forum*, Vol. 465-466, pp. 213-218, 2004.
  22. Bond, G.M., and Inal, O.T., "Shock-Compacted Aluminum/Boron Carbide Composites", *Composites Engineering*, Vol. 5, pp. 9-16, 1995.
  23. Kim, K.T., Choi, S.W., and Park, H., "Densification Behavior of Ceramic Powder Under Cold Compaction", *Transactions of the ASME*, Vol. 122, pp. 238-244, 2000.